

# Si МДП ФОТОДЕТЕКТОР КАК ДЕТЕКТОР ВОДОРОДА

*Г.Г.Ковалевская, М.М.Мередов, Е.В.Руссу, Х.М.Салихов,  
С.В.Слободчиков*

Разработка, исследование и использование полупроводниковых диодных структур для детектирования и измерения концентрации водорода и водородосодержащих газов имеют большое значение для решения ряда экологических проблем, техники безопасности, совершенствования технологии в промышленности и т.д. В опубликованных ранее работах изложены результаты экспериментов по влиянию водорода и водородосодержащих газов на электрические свойства диодных структур — вольт-амперную и вольт-емкостную характеристики, пороговое напряжение транзистора [1–5]. Новый способ детектирования и измерения этих газов по изменению фотоэдс был предложен и опубликован в [6,7]. В настоящей работе представлены данные по исследованию влияния водорода на электрические и фотоэлектрические характеристики фоточувствительных МДП структур Pd-SiO<sub>2</sub>-*p*(*n*)-Si.

Для создания МДП структур были использованы кристаллы *n*-Si с  $\rho = 7.5 \text{ Ом} \cdot \text{см}$  и ориентацией (111) и *p*-Si с  $\rho = 10 \text{ Ом} \cdot \text{см}$  ориентации (100). Перед нанесением слоев SiO<sub>2</sub> и Pd пластины химически очищались, травились в HF, промывались и высушивались.

Слои SiO<sub>2</sub> создавались выдержкой на воздухе пластин в течение нескольких недель при комнатной температуре; толщина слоев составляла 22–26 Å. Палладий наносился напылением в вакууме  $10^{-5}$  Тор и толщина его слоев была 400–500 Å.

На рис. 1 даны типичные вольт-амперные зависимости (ВАХ) двух МДП фотодетекторов, созданных соответственно на *n*- и *p*-кремнии. Механизм токопрохождения Si МДП структур рассматривался ранее [8,9]. Применительно к нашим структурам наблюдается определенное сходство вида ВАХ с кривыми, рассчитанными для неравновесного случая с высоким значением работы выхода металла [9]. Отметим некоторые особенности ВАХ. Экспоненциальная зависимость

$$J \sim \exp \frac{gV}{mkT}$$

с высокими значениями  $m$  наблюдается в интервале напряжений 0.4–1.0 В. Измерения ВАХ при 120 К (рис. 1, кривая 5) показали, что в этом же интервале напряжений наблюдается наименьшая зависимость прямого тока (плюс на Si) от температуры. Эти данные свидетельствуют о преобладающем туннельном токопрохождении. При более низких напряжениях прямой ток более чем на два порядка величины ниже при 120 К. Это позволяет утверждать, что в этом интервале смещений существенный вклад вносят другие механизмы токопрохождения и прежде всего генерационно-рекомбинационный ток области истощения. Полный ток

$$I = I_{g-r} + I_{tun} \quad (1)$$

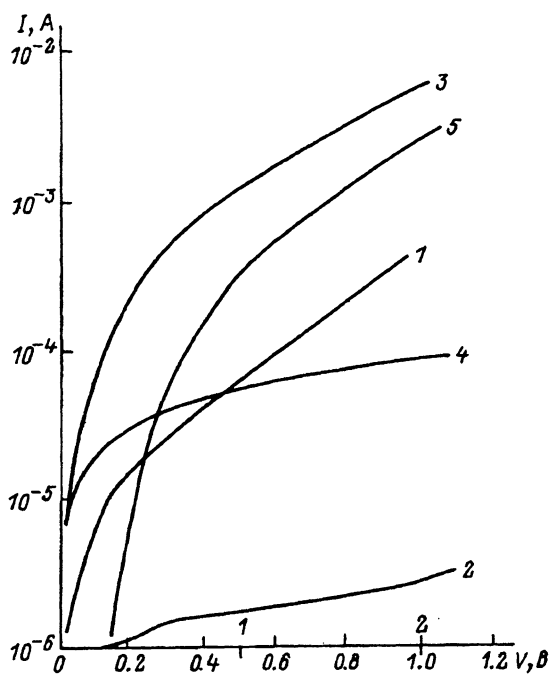


Рис. 1. Вольт-амперные характеристики Si МДП фотодетекторов.

1, 2 — прямая и обратная ветви  
Pd-SiO<sub>2</sub>-n-Si структуры ( $T = 295$  К);  
3, 4 — прямая и обратная ветви  
Pd-SiO<sub>2</sub>-p-Si структуры ( $T = 295$  К);  
5 — прямая ветвь при  $T = 120$  К  
(нижняя шкала по оси абсцисс).

и общее дифференциальное сопротивление

$$(RA)^{-1} = (RA)_{g-r}^{-1} + (RA)_{tun}^{-1}, \quad (2)$$

где  $A$  — площадь структуры.

Характеристику электрических параметров диодных МДП структур дополняют вольт-емкостные зависимости  $C^{-2} = f(V)$  (рис. 2). Из них определены высоты барьеров 0.6 (для Pd-SiO<sub>2</sub>-n-Si) и 0.9 эВ (для Pd-SiO<sub>2</sub>-p-Si).

Исследование влияния водорода на спектральную фотоэдс, вольт-амперные и вольт-емкостные характеристики проведено при импульсном воздействии газа. На рис. 3 представлены соответствующие кривые фотоэдс для обоих видов структур без H<sub>2</sub> и с H<sub>2</sub>. Фотоэдс для них изменяется в противоположных направлениях: для n-Si МДП фотодетекторов резкое, почти на три порядка, падение; для p-Si МДП структур, наоборот, увеличение более чем на два порядка. Такое изменение характерно для всех длин волн из области собственного поглощения, лишь на краю поглощения амплитуда изменений уменьшается. На рис. 3 (вставка вверху) показана кривая нарастания и спада импульса фотоэдс для p-Si МДП-фотодетектора под действием H<sub>2</sub>. Нарастание практически безинерционно — 1–2 с. Спад двухступенчатый: первая ступень составляет по времени 20–30 с, вторая может растягиваться на 1.5–2 мин. Аналогичные изменения, но с обратными амплитудами наблюдаются в n-Si МДП структурах. На рис. 4 приведены прямые и обратные ветви ВАХ для обоих видов МДП структур при импульсном воздействии водорода и без H<sub>2</sub>. В структурах p-Si МДП наблюдается уменьшение прямого тока под действием H<sub>2</sub> меньше, чем на порядок (кривые 1, 2), а обратного больше,

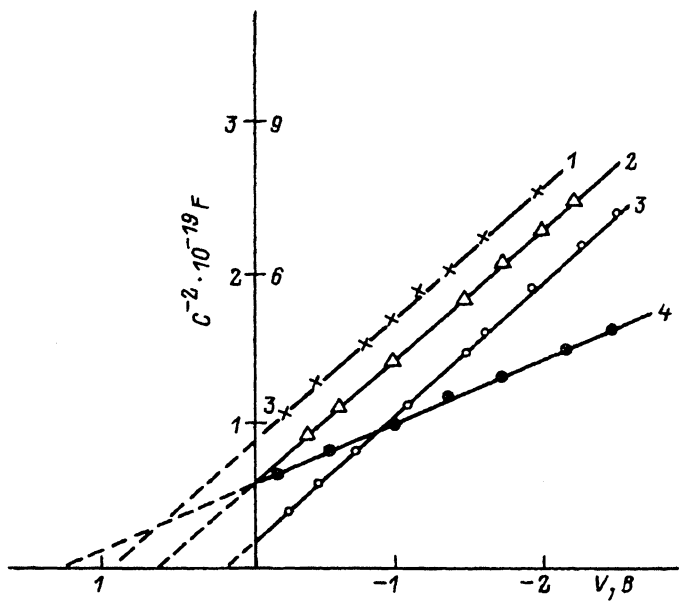


Рис. 2. Вольт-емкостные характеристики Si МДП фотодетекторов.

1, 4 — Pd-SiO<sub>2</sub>-p-Si (правая шкала по оси ординат); 2, 3 — Pd-SiO<sub>2</sub>-n-Si; 1, 2 — без H<sub>2</sub>; 3, 4 — с H<sub>2</sub>.

чем на порядок (кривые 3, 4). В n-Si МДП структурах наблюдается рост этих токовых компонент: на 10–30% прямого и на 100–200% обратного (кривые 5–8). Емкость всех диодных структур изменяется под действием H<sub>2</sub> не очень значительно — на 10–100% (рис. 2).

Рассмотрим возможные причины изменения фотоэдс в атмосфере водорода в обоих типах фоточувствительных структур.

Фотоэдс в режиме разомкнутой цепи МДП структуры на основе p-полупроводника можно написать [10]

$$V_{xx} = \left(1 + \frac{\delta}{W} \frac{\varepsilon_s}{\varepsilon_i}\right) \frac{kT}{q} \ln \left[ \frac{J_{sc}}{J_{p0}} \exp \left( b_p \chi_p^{1/2} \delta \right) + 1 \right] + \frac{\delta}{\varepsilon_1} q D_s (f_s - f_{s0}), \quad (3)$$

где  $\delta$  — толщина слоя SiO<sub>2</sub>,  $\varepsilon_s$  и  $\varepsilon_i$  — диэлектрические постоянные Si и SiO<sub>2</sub> соответственно,  $J_{sc}$  и  $J_{p0}$  — ток короткого замыкания и темновой ток насыщения соответственно,  $b_p$  — постоянная туннелирования,  $\chi_p$  — высота барьера Si-SiO<sub>2</sub>,  $D_s$  — плотность поверхностных состояний,  $f_s$  и  $f_{s0}$  — вероятности их заполнения при токопрохождении и в равновесии.

Из этого выражения следует, что основными факторами, влияющими на величину  $V_{xx}$ , являются высота барьера Шоттки  $\varphi_B$  (через экспоненциальную зависимость  $J_{p0}$  от  $\varphi_B$ ), коэффициент прозрачности  $b_p \chi_p^{1/2} \delta$ , ток короткого замыкания  $J_{sc}$  и плотность поверхностных зарядов. Экспериментальные данные позволяют сделать вывод, что определяющий вклад в изменение  $V_{xx}$  в атмосфере H<sub>2</sub> вносит изменение  $\varphi_B$ . Из рис. 2 следует, что увеличение  $\varphi_B$  в p-Si МДП структурах составляет  $\approx 0.35$  эВ, так как напряжение отсечки (прямая 4) равно  $\approx 1.25$  эВ. Снижение же  $\varphi_B$  в n-Si МДП фотодетекторах в аналогичных условиях составляет  $\approx 0.45$  эВ, так

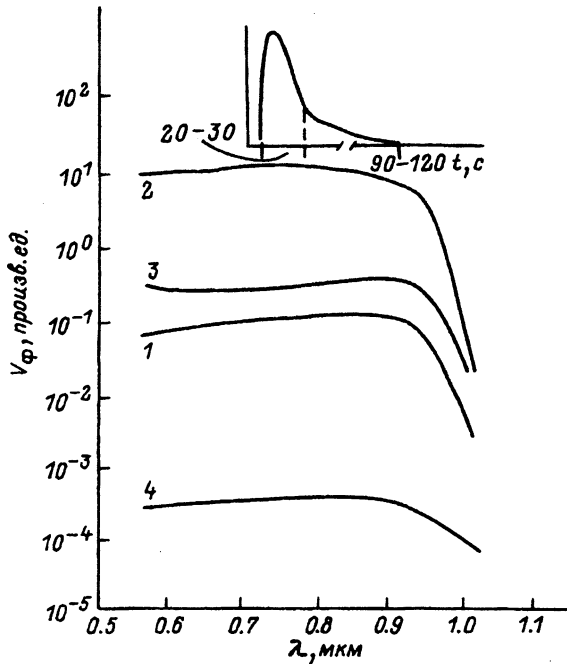


Рис. 3. Спектральная фотоэдс Si МДП фотодетекторов.

1, 2 — Pd-SiO<sub>2</sub>-*p*-Si;  
3, 4 — Pd-SiO<sub>2</sub>-*n*-Si;  
1, 3 — без H<sub>2</sub>; 2, 4 — с H<sub>2</sub>.  
Вставка вверху — кинетика нарастания и спада фотоэдс под действием импульса H<sub>2</sub>.

как высота барьера в атмосфере водорода падает до  $\approx 0.15$  эВ (прямая 3). Очевидно, что изменение

$$J_{p0} = C_1 \exp\left(-\frac{\varphi_B}{kT}\right)$$

(или  $J_{n0}$  для *n*-Si МДП структур) при  $T = 295$  К может достигать многих порядков.

Коэффициент прозрачности  $b_p \chi_p^{1/2} \delta$  не дает увеличения фотоэдс и, возможно, даже снижает ее из-за предположительного снижения  $\chi_{pH_2}$  — высоты барьера SiO<sub>2</sub>-Si в атмосфере H<sub>2</sub>. Плотность поверхностных состояний  $D_s$  даже при величине  $\approx 10^{13}$  см<sup>-2</sup> несущественно изменяет  $V_{xx}$ .

Полученные результаты по изменению  $\varphi_B$  могут быть объяснены введенными в [11] представлениями об образовании дипольного слоя на границе Pd-SiO<sub>2</sub> заряженными атомами водорода. Предполагается, что положительный заряд диполя обращен в сторону SiO<sub>2</sub>. Благодаря такому изменению зарядового состояния системы Pb-SiO<sub>2</sub>-Si происходит рост высоты барьера  $\varphi_B$  в *p*-Si МДП структурах и, наоборот, падение его в *n*-Si МДП.

Особенности релаксации импульсной фотоэдс (рис. 3), на наш взгляд, связаны с образованием глубоких ловушек неравновесных фотоносителей в Si. В [12] отмечалось образование ловушек глубиной в 0.16 и  $\sim 0.5$  эВ ниже дна зоны проводимости в атмосфере H<sub>2</sub>. Эти ловушки распределены неравномерно и большая часть их расположена ближе к поверхности Si. Как видно из рис. 2, наклон прямой 4 почти в два раза меньше, чем прямой 1 (без H<sub>2</sub>), и поскольку наклоном определяется концентрация ионизованных центров  $2/(q\varepsilon_s(N_a + N_t))$ , то можно предположить, что плотность

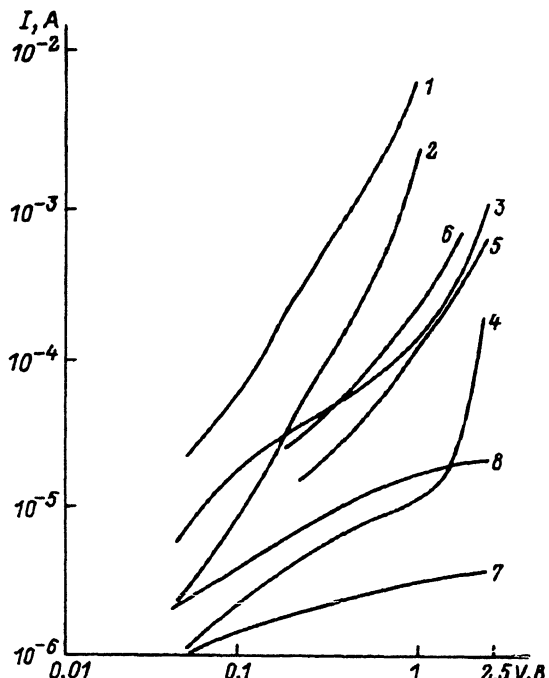


Рис. 4. Изменение прямого и обратного тока ВАХ Si МДП фотодетекторов под влиянием водорода.

1-4 — Pd-SiO<sub>2</sub>-p-Si;  
5-8 — Pd-SiO<sub>2</sub>-n-Si;  
1,3,5,7 — без H<sub>2</sub>; 2,4,6,8 — с H<sub>2</sub>.

ловушек  $N_t$ , создаваемых H<sub>2</sub>, имеет порядок величины  $10^{15}$  см<sup>-3</sup>. Наличие этих центров захвата изменяет рекомбинационные процессы в слое истощения, т.е. изменяет время жизни электронов  $\tau_n$  и диффузионную длину  $L_n$ . Если  $L_n$  возрастает, то ток короткого замыкания  $J_{sc} \sim J_{sc0}$ , т.е. ток при  $\delta = 0$ , будет расти из-за снижения темпа рекомбинации. Существенным при токопрохождении неравновесных неосновных носителей тока электронов в p-Si МДП фотодетекторах является то, что благодаря дипольному слою усиливается тянувшее электрическое поле; это эквивалентно для них снижению барьера Si-SiO<sub>2</sub>. Противоположный эффект можно отметить для фотодырок в n-Si МДП диодах.

Из рис. 3 и 4 видно, что при одинаковых импульсных воздействиях водорода изменение фотоэдс превосходит почти на два порядка изменение темнового тока. Эта более высокая чувствительность практически связана с тем, что, помимо роста  $J_{sc}$ , измеряемая фотоэдс  $V_\phi \approx J_{sc} R_0$  через дифференциальное сопротивление в нуле смещения  $R_0$  непосредственно зависит от изменения высоты барьера Шоттки  $\varphi_B$ . Темновые токи ВАХ определяются вкладом двух компонент, согласно (2) и при преобладании туннельной компоненты изменение тока менее чувствительно к изменению  $\varphi_B$ .

Таким образом, оба типа МДП структур могут быть использованы для измерения концентрации водорода и водородосодержащих газов более чувствительным фотоэлектрическим методом. Оценки показывают, что могут измеряться очень малые концентрации, а именно < 0.01 ppm H<sub>2</sub>.

## Список литературы

- [1] Yamamoto N., Tonomura S., Matsuoka T., Tsubamura H. // J. Appl. Phys. 1981. Vol. 52. N 10. P. 6227–6230.
- [2] Yousuf M., Kuliev B., Lalevic B., Poteat T.L. // Sol. St. Electr. 1982. Vol. 25. N 8. P. 753–758.
- [3] Fogelberg J., Lundström I., Petersson L. // Phys. Scripta. 1987. Vol. 35. P. 702–705.
- [4] Lundström I., Shivaraman M.S., Svensson C.M. // J. Appl. Phys. 1975. Vol. 46. N 9. P. 3876–3881.
- [5] Spetz A., Armgarth M., Sundström I. // J. Appl. Phys. 1988. Vol. 64. N 3. P. 1274–1283.
- [6] Ковалевская Г.Г., Кратена Л., Мередов М.М. // Письма в ЖТФ. 1989. Т. 15. Вып. 12. С. 55–58.
- [7] Слободчиков С.В., Ковалевская Г.Г., Мередов М.М. и др. // Письма в ЖТФ. 1991. Т. 17. Вып. 15. С. 1–4.
- [8] Card H.C., Rhoderick E.H. // J. Phys. D. 1971. Vol. 4. N 10. P. 1589–1601.
- [9] Green M.A., King F.D., Shewchun J. // Sol. St. Electr. 1974. Vol. 17. N 6. P. 551–561.
- [10] Srivastava G.P., Bhatnagar P.K., Dhariwal S.R. // Sol. St. Electr. 1979. Vol. 22. P. 581–587.
- [11] Lundström I., Shivaraman M.S., Svensson C.M. // J. Appl. Phys. 1975. Vol. 46. N 9. P. 3876–3881.
- [12] Petty M.C. // Electr. Lett. 1982. Vol. 18. N 8. P. 314–316.

Физико-технический институт  
им. А.Ф.Иоффе РАН  
Санкт-Петербург

Поступило в Редакцию  
27 февраля 1992 г.

04;12  
© 1993 г.

Журнал технической физики, т. 63, в. 2, 1993

## ИССЛЕДОВАНИЕ ПРОЦЕССА ЗАЖИГАНИЯ ДУГИ В ЗАМКНУТОМ СИЛЬНОТОЧНОМ КОНТАКТЕ

В.А.Фалеев, А.И.Федорченко

### Введение

Известно [1], что контактное соединение обладает электрическим сопротивлением, значительно превышающим сопротивления каждого из материалов, образующих контактную пару. Это связано как с наличием особого рода поверхностных пленок (например, адгезионных или окисных), так и с микроскопической шероховатостью контактных поверхностей. Так как повышение сопротивления локализовано в узкой контактной зоне, то это приводит к значительному джоулевому тепловыделению в ней и, как следствие, возможному самопроизвольному отбросу контактов за счет теплового взрыва области стягивания [2]. Кроме того, наличие явления стягивания и, следовательно, искривление линий тока вызывают появление электродинамических усилий, также способствующих самопроизвольному размыканию контактов. Отброс контактов сопровождается возникновением контактной дуги между ними, что приводит либо к свариванию, либо к разрушению контактной пары. Появление дуги между первоначально замкнутыми электродами особенно характерно, когда через контакт пропускается большой импульсный ток.

В связи с этим целью настоящей работы являлось экспериментальное и теоретическое изучение данного процесса, определение локальных и интегральных критериев перехода металлического контакта в дуговой